

# 最 高 指 示

認識从实践始，經過实践得到了理論的認識，还須再回到实践去。認識的能动作用，不但表現于从感性的認識到理性的認識之能动的飞跃，更重要的还須表現于从理性的認識到革命的实践这一个飞跃。

## 繞 射 波 特 徵 点 的 利 用

六四六厂 靠舵手

在地震記錄上，經常伴隨斷層出現繞射波。正如我們伟大領袖毛主席教导我們的“同世界上一切事物无不具有两重性（即对立統一規律）一样”，繞射波也有两重性。它与反射波交織在一起造成波的严重干涉，产生种种假象，給解釋工作带来一定的困难，这是不利的一面。但是，一旦當我們認识了它的特征及規律，并加以充分利用时，就能起到輔助解釋的作用，更好地帮助我們正确的解釋地下复杂的地质現象，又使坏事变成了好事。因此，在資料解釋中，我們應該对繞射波进行認真的分析，掌握其在地震学上的特征，更好地为我們所利用，从而达到正确地判断地质現象的目的。

本文試圖通过逐次逼近的近似求解法，討論在三度情況下繞射波特征点在波形記錄上和時間剖面上的不同偏移情况，提出利用繞射波特征点确定断点位置的一点想法。

### 在波形記錄上繞射波时距曲線极点的偏移

当測綫与断层綫的法綫以  $\theta$  角相交时，觀測到繞射波时距曲綫的数学表达式为：

$$t = \frac{1}{v} \sqrt{(\chi \sin \theta)^2 + [\sqrt{(\chi \cos \theta - a)^2 + H^2} + \sqrt{a^2 + H^2}]^2} \quad \dots \dots (1)$$

式中：  $\chi$  —— 从爆炸点到觀測点的距离；

$a$  —— 埋藏深为  $H$  的断点距爆炸点的水平距离；

$v$  —— 断点对应层次的速度。

如按通常的方法，即令  $\frac{dt}{d\chi} = 0$ ，求取 (1) 式的极小值，则会导致关于  $\chi$  的四次代数方程式，虽然目前已能用解析法公式求解，但比較复杂，并涉及到非常繁瑣的 数学 运算，而且討論起来也十分麻煩。因此，我們采用簡單易行的近似求解法。

大家知道，函数本身与这个函数的平方是具有相同的极值点的，因为令  $t^2$  的导数  $2t t' = 0$ ，仍能得  $t' = 0$ （产生极值的必要条件）。所以把（1）式两端各自平方，求下列函数的极值就可以了，即

$$(tV)^2 = (\chi \sin \theta)^2 + [\sqrt{(\chi \cos \theta - a)^2 + H^2} + \sqrt{a^2 + H^2}]^2 \dots\dots (2)$$

把（2）式等号右端的两项分别记为：

$$f_1(\chi) = (\chi \sin \theta)^2; \quad f_2(\chi) = [\sqrt{(\chi \cos \theta - a)^2 + H^2} + \sqrt{a^2 + H^2}]^2$$

显而易见， $f_1(\chi)$  是抛物线，它只有一个极小点，极点为  $\chi = 0$ ； $f_2(\chi)$  是近于抛物线，也只有一个极小点，极点为  $\chi = \frac{a}{\cos \theta}$ ，并且为  $\chi \rightarrow \pm\infty$  时， $f_1(\chi)$ ， $f_2(\chi)$  都趋于  $\infty$ ，如图 1 所示。

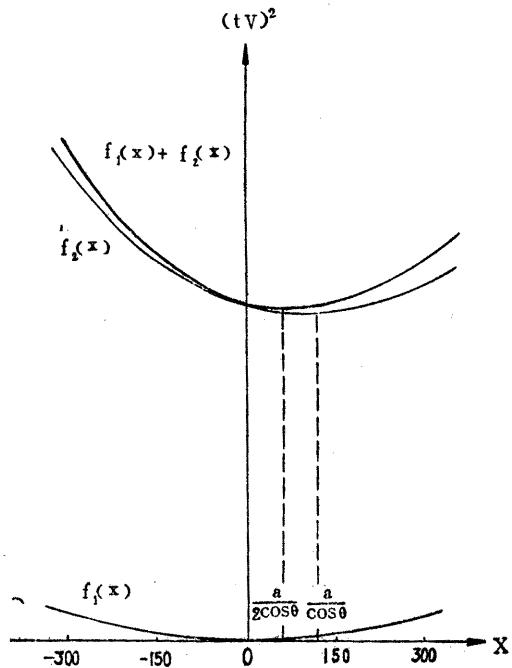


图 1

若把  $f_1(\chi)$ ， $f_2(\chi)$  的纵坐标相加，即  $f_1(\chi) + f_2(\chi)$ ，便得（2）式的图形。

参见图 1，由于在点  $\chi = \frac{a}{\cos \theta}$  的右边， $f_1(\chi)$  及  $f_2(\chi)$  的曲线都是上升的；在 0 点的左边，这两支曲线段都是下降的，并在域  $(0, \frac{a}{\cos \theta})$  内。显然，到底极点的横坐标是多少，要精确求出是不容易的。为了方便，可取极点的初始近似值为  $\frac{a}{\cos \theta}$ ，若一级近似

程度不够，可以繼續取區間  $(0, \frac{a}{2\cos\theta})$  的中點  $\frac{a}{4\cos\theta}$ ，及區間  $(\frac{a}{2\cos\theta}, \frac{a}{\cos\theta})$  的中點  $\frac{3a}{4\cos\theta}$ ，把它們代入(1)式求取函數的近似解，進一步把求得的近似解與  $t_{min}(\frac{a}{2\cos\theta})$  來比較。例如比較  $t_{min}(\frac{3a}{4\cos\theta})$  與  $t_{min}(\frac{a}{\cos\theta})$  的大小，即研究

$$t_{min}(\frac{a}{2\cos\theta}) - t_{min}(\frac{3a}{4\cos\theta})$$

是大於零還是小於零。若設  $\theta$ 、 $a$ 、 $H$  系數滿足關係，而

$$t_{min}(\frac{a}{2\cos\theta}) - t_{min}(\frac{3a}{4\cos\theta}) > 0,$$

則  $t_{min}(\frac{3a}{4\cos\theta})$  就是所要求的第二近似值了。反之，若有

$$t_{min}(\frac{a}{2\cos\theta}) - t_{min}(\frac{a}{\cos\theta}) > 0$$

則  $t_{min}(\frac{a}{4\cos\theta})$  就是所要求的第二近似值了。

余此類推，因為極小值的橫座標不在區間  $(0, \frac{a}{2\cos\theta})$  內就必定在區間  $(\frac{a}{2\cos\theta}, \frac{a}{\cos\theta})$  內，用這樣逐次逼近的過程總是收斂的。因此，用這種方法在原則上說總是可以求得滿足給定精度的近似值。

為了討論方便，我們假設在不同  $\theta$  角情況下獲得的繞射波時距曲線的極點橫座標為  $\frac{Ka}{\cos\theta}$ 。其中  $K$  是隨  $\theta$  而變化的一個常系數。當  $\theta = 0^\circ$  時， $K = 1$ ；當  $\theta = 90^\circ$  時， $K = 0$ 。

當  $\theta$  由  $0^\circ$  變為  $90^\circ$  時，其值為： $1 \geq K \geq 0$ 。把这个最終近似值  $\frac{Ka}{\cos\theta}$  代入(1)式，便得函數式(1)的近似值為：

$$T_{min}(K\frac{a}{\cos\theta}) = \frac{1}{V}\sqrt{(Ka\tan\theta)^2 + [\sqrt{(Ka-a)^2 + H^2} + \sqrt{a^2 + H^2}]^2}$$

據此，不難看出，繞射波時距曲線的極點在波形記錄上有如下的偏移規律：

1、當炮點剛好落在斷點的正上方（即  $a = 0$ ）時，對於不同角度  $\theta$  獲得的繞射波時距曲線，其極點橫座標都在以炮點為座標原點的縱軸上  $2H/V$  处（見圖2）。

2、當測線與斷層線平行（即  $\theta = 90^\circ$ ）時，對於不同的  $a$  值獲得的繞射波時距曲線，

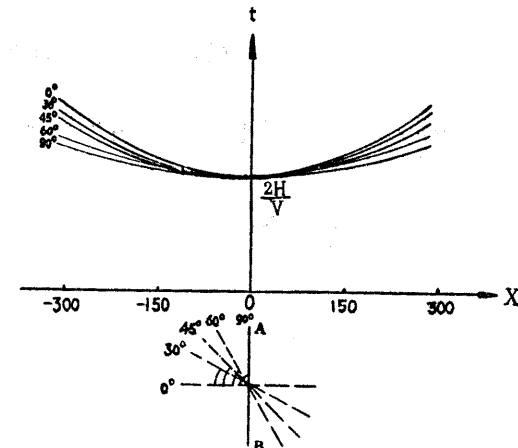


图2 爆炸点設在断层正上方，測綫与断层  
斜交时的繞射波时距曲綫

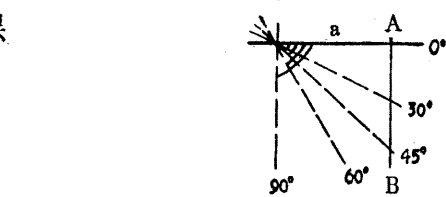
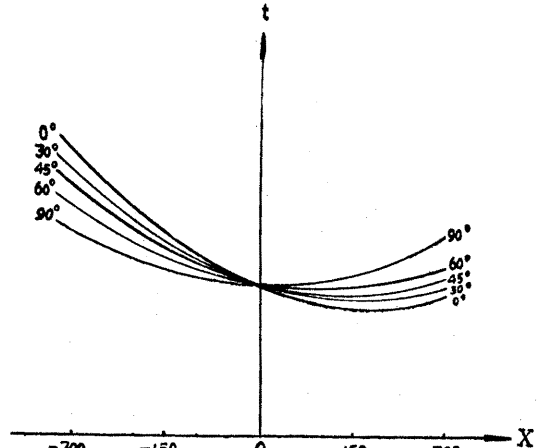


图3 爆炸点設在断层綫以外，測綫  
与断层斜交时繞射波的时距曲綫

其极点也都在以炮点为座标原点的縱軸上，此时极点的横座标发生最大的偏移(見图3)。

3、当測綫与断层綫成正交（即 $\theta = 0^\circ$ ）时，对于不同的 $a$ 值获得的繞射波时距曲綫，其极点横座标就是 $a$ 值，也就是說极点出現在断点的正上方（見图3）。

4、对于同一 $a$ 值，随着 $\theta$ 由 $0^\circ$ — $90^\circ$ 的变化，繞射波时距曲綫的极点横座标，分別由 $a$ 递減为零（見图3）。

5、对于同一 $\theta$ 值，随着 $a$ 值的增大，亦即炮点离断层綫愈远，繞射波时距曲綫的极点横座标的絕對值也愈大（見图4）。

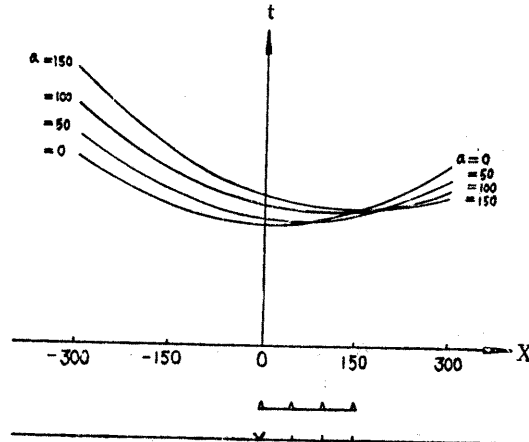


图4 对于同一 $\theta$ 值随着爆炸点到断点的水平距离的变化繞射波时距曲綫的移动

这就告訴我們：當測綫與斷層綫斜交時，繞射波時距曲綫的極點不在斷點于地面投影點的正上方，而在橫座標為  $K \frac{a}{\cos \theta}$  的位置上。這樣借助于繞射波來確定斷層綫時，斷層綫的真正位置不是嚴格通過其極點，而是通過極點向遠離炮點方向移動一個偏值。換句話說，斷層綫應通過地震記錄上繞射波極點橫座標的  $1/K$  倍的地方。

在時間剖面上繞射波時距曲線極點的偏移

时间剖面就是把原始磁带地震记录经过静校正和动校正处理后所得的记录。大部分地区因地形、低速带和井深的变化都不大，一般都不做静校正。动校正量应是速度、炮点至检波器点的距离，以及反射层深度（即 $t_0$ 值）的函数。在水平界面的条件下，当 $t_0 V^2 \gg X^2$ 时，

它可以似近地用  $\Delta t = \frac{\chi^2}{2t_0 V^2}$  来表示。

由于繞射波的时差約等于回声时间一半的正常水平层的反射差，所以它的曲率比其附近反射波要陡。这样，在时间剖面上剩余繞射波时距曲线的数学表达式就可以近似地認為是：

$$t = \sqrt{(\chi \sin \theta)^2 + [\sqrt{(\chi \cos \theta - a)^2 + H^2} + \sqrt{a^2 + H^2}]}^2 - \frac{\chi^2}{2t_0 V^2} \dots \dots \quad (3)$$

如果也按通常的方法求其极小点，则会导致关于  $X$  的八次代数方程式，从古典数学观点看来是没有可解公式的。但是，在地震勘探的资料解释上，如果需要求解方程的根，往往只要求得到具有一定精确度的答案而已，而对答案是怎样得出来的，不感兴趣。为此，特别在遇到实际上不能用公式求解精确的复杂方程式时，往往采取近似求解法，即用逐次逼近方法，计算方程式的根到必要的精确度。这样，在地震勘探资料的解释上也就完全可以完全满意了。下面用逐次逼近公式求解它，这种方法是采用某一比较简单的函数去代替上面等式右端的第一项，使得（3）式化为一近似式，且易于求极值。

基于如前所述，等式右端的第一項其相应曲綫形如拋物綫，且极点横座标的近似值为  $K \frac{a}{\cos \theta}$  的初步認识，我們可以选用一条拋物綫来近似地表达它，并且要求这条拋物綫在其曲綫的极点附近，如图 5 中最影响 (4) 式极小值的 A B 段上，有充分地逼近。为此，我們設法使这条拋物綫通过点 A  $(K \frac{a}{\cos \theta}, y_1)$  和点 B  $(\frac{a}{\cos \theta}, y_2)$ 。

假設所要求的拋物線為：

$$y - y_1 = M \left( x - \frac{K a}{\cos \theta} \right)^2 \quad \dots \dots \dots \quad (4)$$

把点 B  $(-\frac{a}{\cos \theta}, y_2)$  代入 (4) 式以确定 M, 得  $M = \frac{(y_2 - y_1) \cos^2 \theta}{a^2(1 - K)^2}$ , 再将 M 值

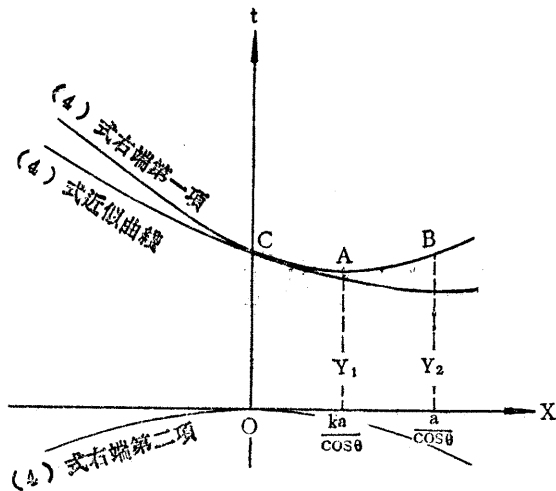


图 5

代入(4)式，便得所求的抛物线为：

$$y = y_1 + \frac{(y_2 - y_1) \cos^2 \theta}{a^2(1 - K)^2} \left( \chi - \frac{Ka}{\cos \theta} \right)^2 \quad \dots \dots \dots \quad (5)$$

其中：  $y_1 = \frac{1}{V} \sqrt{(k a \tan \theta)^2 + [\sqrt{(K a - a)^2 + h^2} + \sqrt{a^2 + H^2}]^2}$

$$y_2 = \frac{1}{V} \sqrt{a^2 \tan^2 \theta + [H + \sqrt{a^2 + H^2}]^2}$$

現在以(5)式近似地代替(3)式等号右端的第一項，这样(3)式就近似地換成：

$$t = y_1 + \frac{(y_2 - y_1) \cos^2 \theta}{a^2(1 - K)^2} \left( \chi - \frac{Ka}{\cos \theta} \right)^2 - \frac{\chi^2}{2t_0 V^2} \quad \dots \dots \dots \quad (6)$$

对(6)式求导数，并令其为零，經整理簡化后得(3)式的极点横座标近似值为：

$$\chi = \frac{K \frac{a}{\cos \theta}}{1 - \frac{(1 - K)^2 a^2}{2t_0 V^2 \cos^2 \theta (y_2 - y_1)}} \quad \dots \dots \dots \quad (7)$$

如認為近似程度不够，还可用通过三点即  $(K \frac{a}{\cos \theta}, y_1)$ ,  $(\frac{3a}{4\cos\theta}, y_3)$ ,  $(-\frac{a}{\cos\theta}, y_2)$

的抛物线来进一步逼近AB曲线段，这时可設抛物线为  $y = a \chi^2 + b \chi + c$ ，把这三点代入解联立方程，求出常数项  $a$ 、 $b$ 、 $c$ ，然后仿上做法即可。

根据(7)式不難得知，繞射波时距曲线上有如下偏移規律：

1、当炮点刚好落在断点的正上方（即  $a = 0$ ），对于不同角度获得的繞射波时距曲綫，其极点横座标都在以炮点为座标原点的縱軸上（見图6）。

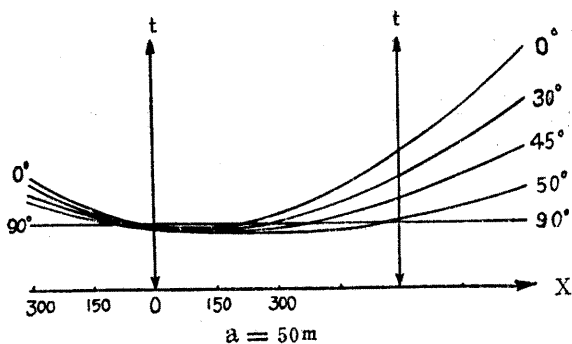


图 6

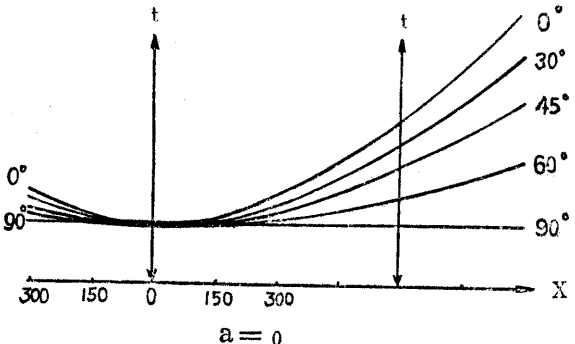


图 7

2、当测线与断层线平行（即 $\theta = 90^\circ$ ）时，对于不同的 $a$ 值获得的绕射波时距曲线均为直线（见图7）。

3、对于同一 $\theta$ 值，随着 $a$ 值的增大，亦即炮点离断层线愈远，绕射波时距曲线的极点横坐标的绝对值也愈大（比较图6、7）。

4、对于同一 $a$ 值，随着 $\theta$ 由 $0^\circ$ — $90^\circ$ 的变化，绕射波时距曲线的极点横坐标的绝对值也愈大。

根据假设条件  $t_0 V^2$  很大的情况，可以看出（7）式的分母小于1，所以  $|X| > |\frac{K a}{\cos \theta}|$ 。这就从理论上证明了：在时间剖面上，由于动校正关系引起绕射波时距曲线极点横坐标的偏移总是向远离爆炸点方向移动；而在波形记录上，由于测线与断层斜交的角度引起的偏移，总是向靠近爆炸点方向移动。两者的偏移方向正好相反，互为相消。因此，在时间剖面上借助于绕射波确定断层线时，断层线的真正位置应通过时间剖面上绕射波极点横坐标的 $n$ 倍的地方。

$$n = \frac{K}{1 - \frac{(1-K)^2 a^2}{2t_0 V^2 \cos^2 \theta (y_2 - y_1)}}$$

## 小 结

由上面的讨论，可以得到以下几点初步认识：

(1) “绕射波时距曲线的极小点就是绕射点在地面投影”的概念，只具特殊性，不具普遍性。

(2) “绕射波时距曲线极小点的位置在多重观测系统上是不变”的概念，只具相对性，不具绝对性。

(3) 测线方向垂直于断层走向，有利于绕射波特征点的正确利用。

以上只是一点想法，很不成熟，不妥之处甚或错误，在所难免。诚恳希望同志们批评指正，以利日臻完善，更好地为生产实践服务。